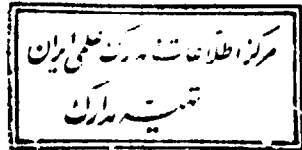


٢٣٠. VV

۱۳۷۹ / ۷ / ۲۸



وزارت فرهنگ و امور انسانی

دانشکده فنی - بخش مکانیک

پایان نامه برای دریافت درجه کارشناسی ارشد مکانیک

تحت عنوان:

شبیه سازی انتقال حرارت و احتراق در موتورهای احتراق داخلی با  
شارژ چینه ای پاشش مستقیم (TCCS) با استفاده از مدل ( $k-\epsilon$ )

استاد راهنمای:

دکتر سید حسین منصوری

۱۰۲۰۰

نگارش:

یونس بخشن

خرداد ۱۳۷۵

ب

۳۳۰۷۷

بسمه تعالی

این پایان نامه  
به عنوان یکی از شرایط احراز درجه کارشناسی ارشد

به

بخش مهندسی مکانیک  
دانشگاه شهید باهنر کرمان

تسلیم شده است و هیچگونه مدرکی به عنوان فراغت از تحصیل دوره مذبور شناخته نمی شود

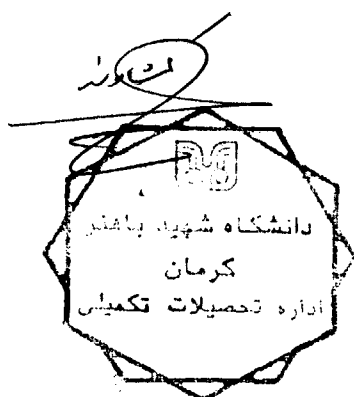
دانشجو: یونس بخشان

امضاء رئیس  
سید علی حسین منصوری

استاد راهنمای: آقای دکتر سید حسین منصوری

داور ۱ : آقای دکتر وهاب پیروزپناه

داور ۲ : آقای دکتر علی کشاورز



ج

تقدیم به :

مادر

و

همسر عزیزم

که همواره مشوق و مایه امید من بوده اند.

## تشکر و قدردانی :

اکنون که این پایان نامه بپایان رسانیده است لازم می دانم از آقای دکتر سید حسین منصوری استادیار بخش مهندسی مکانیک که با راهنمایی های ایشان این پروژه به اتمام رسانید تشکر و سپاسگزاری کنم . همچنین از آقایان دکتر وهاب پیروزپناه و دکتر علی کشاورز داوران محترم پروژه و دکتر علی سینا بی ریاست محترم و سایر اساتید بخش مکانیک خصوصا جناب آقای مهندس شهبازخانی کمال تشکر و قدردانی را دارم

در پایان مایلیم از همکاریهای مرکز بین المللی علوم و تکنولوژی پیشرفت و علوم محیطی که این جانب را در انجام این پروژه یاری نموده اند تشکر و قدردانی نمایم.

## چکیده :

بر پایه مرجع [۵] مدلی برای پیش‌بینی عملکرد موتورهای احتراق داخلی با شارژ چنگه‌ای (TCCS) توسعه داده شده است که محاسبات کامل سیکلی را که از هندسه موتور، زمان بندی سویاپها، پاشش سوخت، مشخصات سوخت و شرایط کاری موتور شروع شده و شامل قسمتهای روی هم افتادگی سویاپها، مکش، ترکم، احتراق، انبساط و تخلیه می‌باشد را انجام می‌دهد. فرایند اختلاط با استفاده از مدل اختلاط جت سوختی بررسی شده و معادلات در سیستم مختصات استوانه‌ای با میدان فشار غیر یکنواخت حل می‌شوند. تغییرات شکل جت سوختی در برخورد با دیواره صلب محاسبه شده و حرکت هوای داخل سیلندر با استفاده از جزئیات زیر مدلی برای مشخص کردن مسیر جت سوختی بررسی می‌شود. در طول احتراق جت سوختی به المانهای مختلف تقسیم شده و فرایند احتراق هر المان به صورت یک فرایند اخطلالات بین جت سوختی و گاز اطراف و هوای مکیده شده از اطراف جت به داخل المان تحلیل می‌شود. محافظه احتراق به پنج سطح حرارتی شامل سطح سویاپ ورودی، سطح سویاپ خروجی، سطح مربوط به سر سیلندر، دیواره سیلندر و بالای پیستون تقسیم بندی شده و با استفاده از رابطه انتقال حرارت وشنی و مدل آشفتگی ( $k-\epsilon$ ) برای انتقال حرارت و احتراق شبیه سازی شده و تابع حاصل از هر دو مدل با تابع تحریک توافق خوبی دارد. برنامه تهیه شده با هر دو مدل برای انجام انواع مطالعات پارامتری طراحی قسمتهای مختلف موتور دارای توانایی بسیار بالایی می‌باشد و قابلیت محاسبه عملکرد موتور از قبیل راندمان حرارتی، فشار موثر متوسط، مصرف ویژه سوخت و انواع پارامترهای عملکردی از قبیل فشار، دما، انتقال حرارت، شارهای جرمی ورودی و خروجی سیلندر، جرم داخل سیلندر، میدان جریان داخل سیلندر، تلفات اصطکاکی، کار تولیدی پیستون و سایر پارامترها را دارا می‌باشد.

## فهرست مطالب

صفحه	عنوان	
۱	فهرست علاسم	
۲	مفاہیم اساسی در طراحی موتورها	فصل ۱
۳	تاریخچه	۱-۱
۷	مقدمه	۲-۱
۱۰	پارامترهای عملکردی در طراحی موتور	۳-۱
۱۱	گشتاور و قدرت ترمزی	۱-۳-۱
۱۲	کار اندیکاتور در هر سیکل	۲-۳-۱
۱۲	راندمان مکانیکی	۳-۳-۱
۱۳	توان بار حاده	۴-۳-۱
۱۴	فشار موثر متوسط	۵-۳-۱
۱۵	مروری بر سیکلکهای استاندارد هوا	۴-۱
۱۶	سیکل اتو	۱-۴-۱
۱۷	سیکل دیزل	۲-۴-۱
۲۱	شبیه سازی ریاضی موتورهای احتراق داخلی	فصل ۲
۲۲	هدف از شبیه سازی	۱-۲
۲۳	شبیه سازی فرایندهای فیزیکی	۲-۲
۲۳	شبیه سازی چند بعدی	۱-۲-۲
۲۴	شبیه سازی پدیده ای	۲-۲-۲
۲۵	سیستم احتراق کنترل شده تگزاکو (TCCS)	۳-۲
۲۶	مدل شبیه سازی موتور احتراقی با پاشش مستقیم	۱-۳-۲
۲۹	سیستمهای قرمودینامیکی و معادلات حاکم بر مدل (TCCS)	فصل ۳
۳۰	شبیه سازی فرایندهای مکش، تخلیه و جرم داخل سیلندر	۱-۳

	معادلات حاکم بر سیستم های المانهای سوختی و	۲-۳
۳۳	محاسبه پارامترهای عملکردی المانها	
۳۶	تحییل حرکت حرارت سوختی در داخل سیندر	۳-۳
۴۰	تحییل میدان جریان سیال در داخل سیندر	۵-۳
۵۰	<b>انتقال حرارت در موتورهای احتراق داخلی</b>	<b>فصل ۴</b>
۵۱	اهتمت انتقال حرارت در موتور	۱-۴
۵۲	مددهای انتقال حرارت در موتورها	۲-۴
۵۵	فرایند کنی انتقال حرارت و بالانس انرژی در موتورها	۳-۴
۶۰	شبیه سازی انتقال حرارت در موتورها	۴-۴
۶۹	<b>مقایسه و بحث و نتایج</b>	<b>فصل ۵</b>
۷۰	بررسی حساسیت $C_p$	۱-۵
۷۶	مقایسه پارامترهای عملکردی با استفاده از دو مدل	۲-۵
۹۸		A ضمیمه
۱۰۲	مراجع	

## فهرست علامت

علامت اختصاری	
<b>A</b>	
جرم هوا، مساحت	
نسبت هوا به سوخت استوکیومتری	$(A/F)_s$
شعاع جریان آزاد جت سوختی	$b$
شعاع جت برخوردی	$b_c$
قطر سیلندر	$B$
ثابت جهانی	$C_s$
ضریب تقطیع	$C_d$
گرمای ویژه در فشار ثابت	$C_p$
فاکتور تولید نوربولانس	$C_s$
آهنگ انتقال انرژی	$E$
جرم سوخت	$F$
نسبت سوخت به هوا	$(F/A)_s$
نسبت سوخت به هوا استوکیومتری	$(F/A)_s$
فشار موثر متوسط اصطکاکی	$FMEP$
ضریب انتقال حرارت، انتالپی ویژه، فاصله بین سرسیلندر و بالای ییستون	$h$
گرمای نهان تبخیر سوخت	$h_k$
میانگین انرژی نوربولانس سیال	$k$
میانگین انرژی جنبشی سیال	$K$
طول دسته شانون، مقیاس نوربولانسی	$l$
طول مشخصه هندسی	$L$
جرم	$m$
کل جرم سوخته در جت سوختی	$m_s$
جرم جت سوختی غوطه ورشده توسط شtle	$m_t$
جرم نسوخته جت سوختی در قسمت غوطه ورشده	$m_u$
توضیح شtle	$\dot{m}$
آهنگ جریان جرمی	$M$
وزن مولکولی	

عدد نوملٹ	$Nu$
سرعت موتور	$N$
فشار سیلندر، شدت تولید نوربولانس	$P$
عدد براندل	$Pr$
آهنگ انتقال حرارت	$\dot{Q}$
موقعیت شعاعی جت سوختی اندازه گیری شده	$r$
نسبت به محور سیلندر	
ثابت گازها	$R$
ثابت جهانی گازها	$\bar{R}$
عدد رینولدز	$Re$
نسبت تراکم، شعاع کامه بیستون	$R_t$
شعاع سیلندر	$R_s$
فاصله در طول مسیر جت سوختی	$s$
کورس بیستون	$S$
دانسیته گاز	$\rho$
نسبت اکسی والاتس سوخت	$\phi$
ضریب هدایت حرارتی	$\lambda$
زمان مشخصه سوختی برای مدل اختراق	$\tau_c$
ویسکوزیته مخصوص	$\mu_s$
سرعت زاریه ای	$\omega$
ثابت شدت واکنش در جهت رفت	$k^+$
ثابت شدت واکنش در جهت برگشت	$k^-$
میزان بخش انرژی جنبشی نوربولانسی در واحد جرم	$\epsilon$
ویسکوزیته مینمائیکی	$\nu$

## فصل ۱

### مفاهیم اساسی در طراحی موتورها

## ۱-۱ تاریخچه

موتورهای احتراق داخلی با شارژ چینه‌ای بخاطر عملکرد بهتر، آلایندگی کمتر و توانایی استفاده از سوختهای چندگانه، جایگزین مناسبی برای موتورهای فعلی می‌باشد.

اگبیو<sup>۱</sup> [۱] مشاهده کرد که کترول دقیق فرآیند احتراق برای عملکرد موتورهای احتراق داخلی با شارژ چینه‌ای بحرانی است و بدست آوردن یک شارژ چینه‌ای بهینه تحت یک محدوده از سرعت، بار، دما و شرایط پاشش تا حد زیادی مشکل می‌باشد.

میشل و آپرسنین<sup>۲</sup> [۲] با مطالعات روی موtor تگزاکو نشان دادند موتورهای با پاشش سوخت بتزین دارای راندمان بالا، آلایندگی کمتر و توانایی استفاده از سوخت چندگانه می‌باشند.

میزوتابی و ماتسوشیتا<sup>۳</sup> [۳] سوخت سبک دیزل را به داخل سیلندرهای موتورهای احتراق با اشتعال جرقه‌ای پاشیدند و بهبود عملکرد موtor و کاهش آلاینده‌های  $CO$  و  $NO$  را مشاهده کردند.

آل‌مامار<sup>۴</sup> [۴] مشاهده کرد که احتراق در محفظه دوگانه سریعتر از موتورهای با اشتعال جرقه‌ای دارای محفظه باز بوده و آهنگ احتراق با سرعت جریان در اریفیس مطابق با اغتشاش تولیدی در آن افزایش می‌باشد. جیوانتی، اکچیان و هیود<sup>۵</sup> [۵] فرایندهای مختلف سیکل کاری موtor احتراق داخلی با شارژ چینه‌ای پاشش مستقیم (TCCS) را جهت یافتن پارامترهای عملکردی و آلاینده  $NO_x$  شبیه‌سازی کردند و به نتایج رضایت‌بخشی رسیدند.

ال‌مسیری و نیوهال<sup>۶</sup> [۶] از یک مدل ترمودینامیکی دو منطقه‌ای برای تحلیل احتراق در موتورهای با

Agnew<sup>۱</sup>

Michell and Alperstein<sup>۲</sup>

Mizutani and Matsushita<sup>۳</sup>

Almamar<sup>۴</sup>

Giovanetti, Ekcian and Heywood<sup>۵</sup>

El-Messiri and Newhall<sup>۶</sup>

محفظه احتراق تقسیم شده استفاده کردند. در این مدل محفظه احتراق اولیه شامل سوخت و هوا و محفظه ثانویه فقط شامل هوا می‌باشد. همچنین نشان دادند که در موتور با محفظه دوگانه آنها، محصولات گرم احتراق خفه شده مانند  $NO$ ، تحت تاثیر حجم محفظه اولیه و مساحت اریفیس قرار گرفته و تشکیل  $NO$  با مطبق کردن سوخت کاهش می‌یابد.

ریشر<sup>۷</sup> [۷] در پیش محفظه یک موتور احتراقی با اشتعال جرقهای از یک فعال‌ساز استفاده کرد و نشان داد که فعال‌ساز اشتعال را سهولت بخشیده و شعله را در طبقات اولیه‌اش گسترش می‌دهد. همچنین زمان تاخیر در اشتعال مربوط به تغییر در شبیی احتراق و تغییر سبکلی (پراکنده‌گی سبکلی) را کاهش داده و حد فقیری را افزایش می‌دهد.

هریس و پیترز<sup>۸</sup> [۸] حد فقیری کاری موتورهای احتراقی با اشتعال جرقهای با افزایش پرواکسید-*(di-t-butyl peroxide)* به محفظه احتراق گسترش می‌یابد. پرواکسید مذکور تجزیه شده و رادیکالهای بیروسی (tertiary) با بتزین بدون سرب عمل کرده و آهنگ اکسیداسیون سوخت را افزایش می‌دهد. کوادر<sup>۹</sup> [۹] نشان داد که افزایش اکسیژن به جریان هوا ورودی دمای شعله، سرعت شعله و آلاینده  $NO$  را افزایش داده و آلاینده هیدروکربنهای نسوخته ( $HC$ ) و راندمان حرارتی موتور را کاهش داده و اجازه کار با سوخت فقیرتر را مهیا می‌کند.

راکیس و مکلین<sup>۱۰</sup> [۱۰] از یک مدل ترمودینامیکی دو منطقه‌ای و رابطه انتقال حرارت وشنی برای تحلیل اثرات افزایش هیدروژن روی نفوذ شعله در موتورهای احتراقی با اشتعال جرقهای استفاده کردند و نتایج آنها نشان داد که با افزایش  $H_2$  زمان تاخیر در اشتعال یا زمان القاء را بویژه در مخلوطهای فقیر کاهش داده و راندمان حرارتی موتور را بهبود می‌بخشد.

Richter<sup>v</sup>

Harris and Peters<sup>^</sup>

Quader<sup>g</sup>

Ruckis and Mclean<sup>۱۰</sup>

- کاسیدی<sup>۱۱</sup> [۱۱] عملکرد موتورهای با اشتعال جرقه‌ای چند سیلندر را با سوخت‌های بنتزین و بنتزین-هیدروژن مطالعه کرد و نشان داد که:
- ۱) افزایش مقدار کمی هیدروژن به بنتزین باعث افزایش سرعت شعله گردیده و در نتیجه زمان تاخیر در اشتعال را کاهش می‌دهد.
  - ۲) موتورهای با سوخت هیدروژن-بنتزین، آلاینده  $NO_x$  زیادتری از موتورهای با سوخت بنتزین بخاطر دماهای پیشینه بالا، تولید می‌کنند.
  - ۳) آلاینده هیدروکربنهای نسخته ( $HC$ ) از موتورهای با سوخت هیدروژن-بنتزین در مقایسه با موتورهای بنتزینی در نسبت‌های اکی والانس بیشتر از  $1/8$  پایین می‌باشد و در نسبت‌های اکی والانس که مصرف سوخت کمترین مقدار را دارا می‌باشد بالاتر می‌باشد.
  - ۴) موتورهای با سوخت بنتزین آلاینده  $CO$  را بیشتر از موتورهای با سوخت هیدروژن-بنتزین تولید می‌کنند. کرایگر و دیویس<sup>۱۲</sup> [۱۲] اثرات افزایش مخلوط تغذیه شده به پیش اتفاق در یک استوکیومتری کلی ثابت در موتور احتراق داخلی با شارژ چینه‌ای تک سیلندر را آزمایش کردند و نتایج زیر را به دست آوردند:
    - ۱) احتراق و تشکیل آلاینده‌ها توسط شعله جت رشد کرده از پیش اتفاق و گازهای اطراف شعله جت اندازه‌گیری می‌شود.
    - ۲) با افزایش چینه‌ای کردن، افزایش زیادی در آلاینده  $CO$  حاصل از گازهای پیش اتفاق ظاهر می‌شود.
    - ۳) شعله جت، هنگامیکه موتور با شرایط چینه‌ای قوی مخلوط سوخت و هوا کار می‌کند منبع اصلی آلاینده  $NO$  می‌باشد.
    - ۴) کاهش آلاینده  $HC$  در موتورهای با اشتعال جرقه‌ای با افزایش چینه‌ای کردن، به مقدار کمی مربوط به بالا بودن دماهای خروجی می‌باشد.

---

Cassidy<sup>۱۱</sup>

Krieger and Davis<sup>۱۲</sup>

جیوانتی<sup>۱۳</sup> [۱۳] نشان داد که موتورهای با اشتعال جرقه‌ای و پاشش مستقیم با استفاده از یک محدوده‌ای از انواع سوختها می‌توانند بازدهی مساوی با بازده موتورهای دیزلی داشته باشند، بنابراین آنها دارای راندمان احتراق پایینی بوده و مقدار زیادی هیدروکربنهای نسوخته در بارهای سبک تولید می‌کنند. پیش‌بینی‌های دقیق پدیده احتراق در موتورهای احتراق داخلی با شارژ چینه‌ای و اهمیت حرکت سیال تنها با مدل‌های چند بعدی قابل دسترسی می‌باشد.

استارکمن<sup>۱۴</sup> [۱۴] نشان داد که بر محصولات  $NO$  و  $CO$  علی‌الخصوص در سوختهای فقیر فرایندهای غیر تعادلی حاکم است.

نیوهال<sup>۱۵</sup> [۱۵] نشان داد که غلظت تعادلی  $NO$ ،  $CO$  در طی انساط کوچکتر از مقادیر تعادلی آنها که از معادلات سیتبیکی به دست می‌آیند، می‌باشد.

بیلی<sup>۱۶</sup> [۱۶] تأثیرات تغییر نسبت اکسی والانس کلی بر روی  $NO$  خروجی را برای موتور با اشتعال جرقه‌ای بررسی نمود و دریافت که مقدار بیشینه آن در مخلوط سوخت به هوای کمی کوچکتر از استرکیومتری به دست می‌آید.

کومیاما و هی‌وود<sup>۱۷</sup> [۱۷]، تأثیرات تغییر  $EGR$  و نسبت اکسی والانس کلی را بر روی میزان  $NO$  خروجی در موتورهای اشتعال جرقه‌ای بررسی کردند و نشان دادند که بازای تمامی نسبتهای اکسی والانس با افزایش  $EGR$  میزان  $NO$  خروجی کاهش می‌یابد.

ماتور و گاجندرابابو<sup>۱۸</sup> [۱۸] نشان دادند که  $CO$  خروجی در سوختهای فقیر با افزایش نسبت اکسی والانس

---

Giovanetti<sup>۱۳</sup>

Starkman<sup>۱۴</sup>

Newhall<sup>۱۵</sup>

Belli<sup>۱۶</sup>

Komiyama and Heywood<sup>۱۷</sup>

Mathur and Gagendra Babu<sup>۱۸</sup>